

長崎大学 学生員。野口 喜
長崎大学 正員 高橋和雄
大成道路 正員 中原鶴見

1. 緒言 スパンが固定される薄肉弾性ばりの振動問題では振幅に依存する軸方向力が含まれるために、運動方程式は非線形偏微分方程式に支配される。最近、連続体を多自由度系に置換する多自由度系解析法によつてかなり大きな非線形性の領域を含む連続体の非線形振動の主共振、高調波共振、分数調波共振、内部共振および各種の不安定現象が解明されつつある。¹⁾他方、本題に関する実験的研究はさわめて少なく²⁾、非線形に伴う諸現象が確証されているものとは言い難い。また、実際の構造では製作過程、支持部の出来具合および自重の影響などによつて必ず初期たわみが存在することおよび理想的な微小振動と大振幅振動では減衰の大きさが異なるなどの理由によつて理論解析と異なる諸現象が生ずることが予想される。これらの影響を理論に組み込むことは容易でないもので、振動実験を行つて現象の把握をする必要がある。そこで本研究はジュラルミン製試験片からなる両端固定ばりを対象として正弦波振動試験機と水平テーブルを用ひて一定加振力による定常応答実験を行つたものである。すなわち、各種の外力の大きさについての挙動実験からえられるばりの変位と外力の固有数の関係から各種の共振、履歴特性、振幅の躍進現象をまとめたものである。これによつて薄肉弾性ばりの非線形振動特性が温度変化、初期変形にさわめて敏感であることを確かめ、あわせて理想的な直線ばりに対する一定の減衰定数を用いて求めた理論結果と比較、検討したものである。

2. 実験 (1) 実験装置 図-1に示すような杆質ジュラル

ミン製の両端固定ばり(有効長さ 30 cm、幅 3 mm、厚さ 1 mm、単位体積重量 $\rho = 2.85 \times 10^3$ kg/m³、ヤング率 $E = 0.75 \times 10^{10}$ N/mm²)を水平テーブル上に振動方向と直角に設置した。図-2および3に示すようなブロックダイアグラムを用ひて実験を行つた。なお、用いた試験機および計測器は次のとおりである。すなわち、図-2において、

(1) R C 発振器(菊水電子工業 421 形)、(2) 107 - アンプ(リニーステレオアンプ TA-3140F 形)、(3) オーディオ用スピーカー(10 インチ 20cm ウーファー 低音専用)、(4) ダイナミックストレンジメーター(共和電業 DPM 6E 形)、(5) 電磁オシログラフ(共和電業 RMV-300 形)。図-3において、(1) 振動試験機(正弦波およびランダム用、加振力 350 g、国際機械振動研究所 TS 3223 形)、(2) 水平テーブル(油圧浮上式スリップアーティル、100 × 100 cm)、(3) エレクトロニックカウンター(松下通信工業、TP 434 形)、(4) 非接触変位計(新日本測器、503A 形)、(5)、(6) 図-2 の(4)および(5)に同じ。

(2) 実験方法 本実験の前に、図-2によつて微小振動実験を実施し、線形固有振動数の測定を行い、固定端の出来具合、試験片の不完全性の検査をした。試験片は定尺のジュラルミンの板から切出し、初期たわみの少ないも

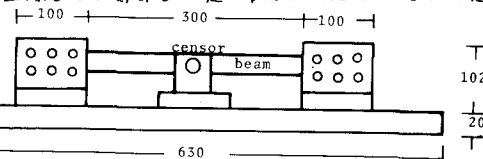


図-1 はりおよび固定装置

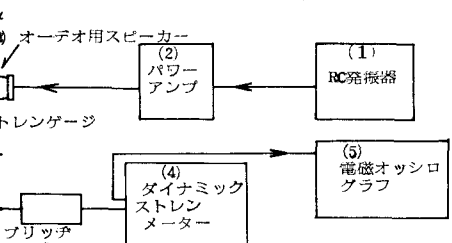


図-2 微小振動実験のブロックダイアグラム

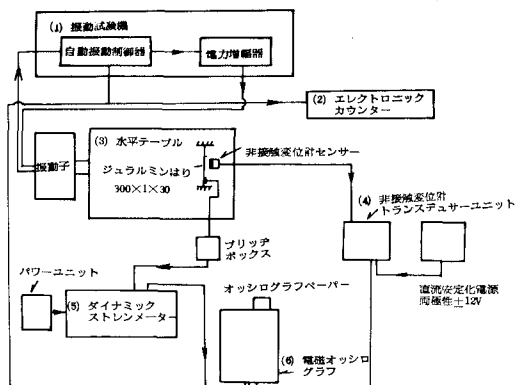


図-3 非線形定常振動実験のブロックダイアグラム

のを選んで、微小振動の振動数が理論値と合致するものを使用した。また、締付け時より 1.5°C の温度上昇があれば、やはり熱座屈し、弾性特性が温度の変化に大きく依存するニヒルがわかった。また、一定出力による音響加振によって、微小振動の減衰定数を算定した。次に図-3のプロット図にしたがって、はりの定常加振実験を行った。加振力を一定にするために、一定の加速度で慣性力により加振し、10秒から200秒まで 1deg/sec/min の速度で慣性力を増加させた。変位計により相対変位を検出しオシログラフペーパー上に入力波形と共に記録した。以上のようにしてえられたはりの動的変位をはりの回転半径で無次元化($A = \frac{x}{r}$)し、また、加振振動数を線形1次固有振動数で無次元化($\omega = \frac{\omega}{\omega_1}$)した。加振加速度 $1g$, $2g$ に対する応答を図-4, 5に示す。図中において印は掃引周波数を増加させた場合の実験値で、・印は掃引周波数を減少させた場合の実験値を示すものである。実線は対応する理論解よりえられる安定な非線形応答を、一点鎖線は不安定な非線形応答を示すものである。また、点線は非線形項を無視した微小変形理論からえらばれた応答を示すものである。図中において $\omega = 1.0$ 付近に生ずる共振は外力の周波数と同じ周波数の振動が卓越する1次振動の主共振を示す。また、 0.2 付近の共振は外力の周波数の5倍の振動が卓越する5倍の高調波共振、 0.3 付近の共振は3倍の高調波共振、 0.5 付近の共振は2倍の高調波共振を示すものである。

図-6, 7に2倍および3倍の高調波共振の波形の例を示す。図-4,

5において示した矢印は

振幅の跳躍現象が生じた

位置を示すものである。

主共振については加振力

の小さな $1g$ の場合には応

答振幅が理論値とほぼ合

致するが、加振力の大き

さ $2g$ の場合には振幅の大

きい領域でかなり差があ

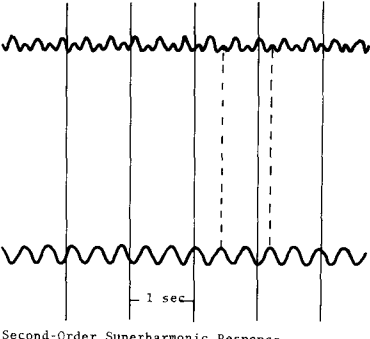


図-6 2倍の高調波共振

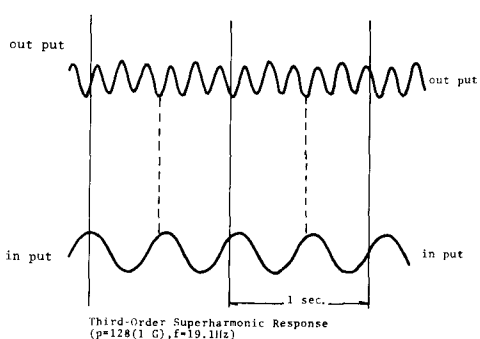


図-7 3倍の高調波共振

ることがわかる。外力と同位相の振幅が跳躍を起こす位置は応答曲線が開ける位置付近で生ずるが、 $\delta = 0.004$ を計算した理論値が開ける振幅よりもかなり小さく振幅を跳躍を起こした。これは大振幅振動ではなく微小振幅の減衰とは異なることにによるものである。なお、下側の振幅の跳躍の位置はほぼ理論解と一致している。図に示すように非線形振動特有の高調波共振が見受けられるが、理論では生じない2倍の高調波共振がかなり成長しているが、これは初期状態にによるものと考えられる。

参考文献 1) 山辺・高橋・河原; 弾性体の非線形振動解析法について。工学会第31回年次学術講演会 講演稿要集 第1部 明和 51年10月, PP. 537 ~ 538, 2) Bennett J.A. and Eistley J.G.; A Multiple Degree-of Freedom Approach to Nonlinear Beam Vibration, AIAA J. Vol. 8, 1970, PP. 739 ~ 738

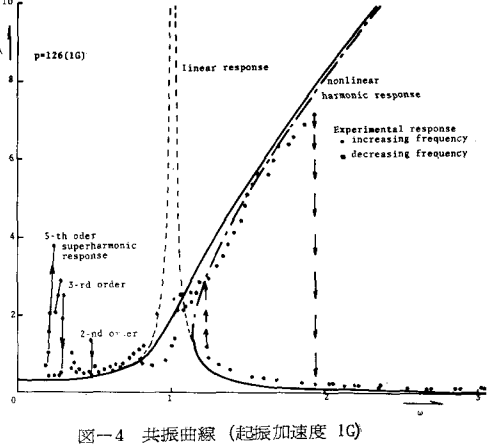


図-4 共振曲線 (起振加速度 1G)

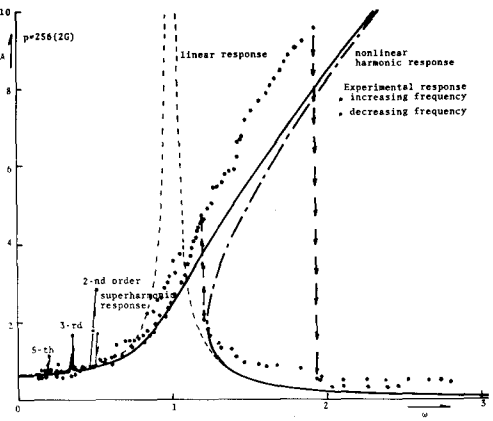


図-5 共振曲線 (起振加速度 2G)